

Рисунок к статье Е.А.Покушалова, А.Н.Турова, П.Л.Шугаева и др.

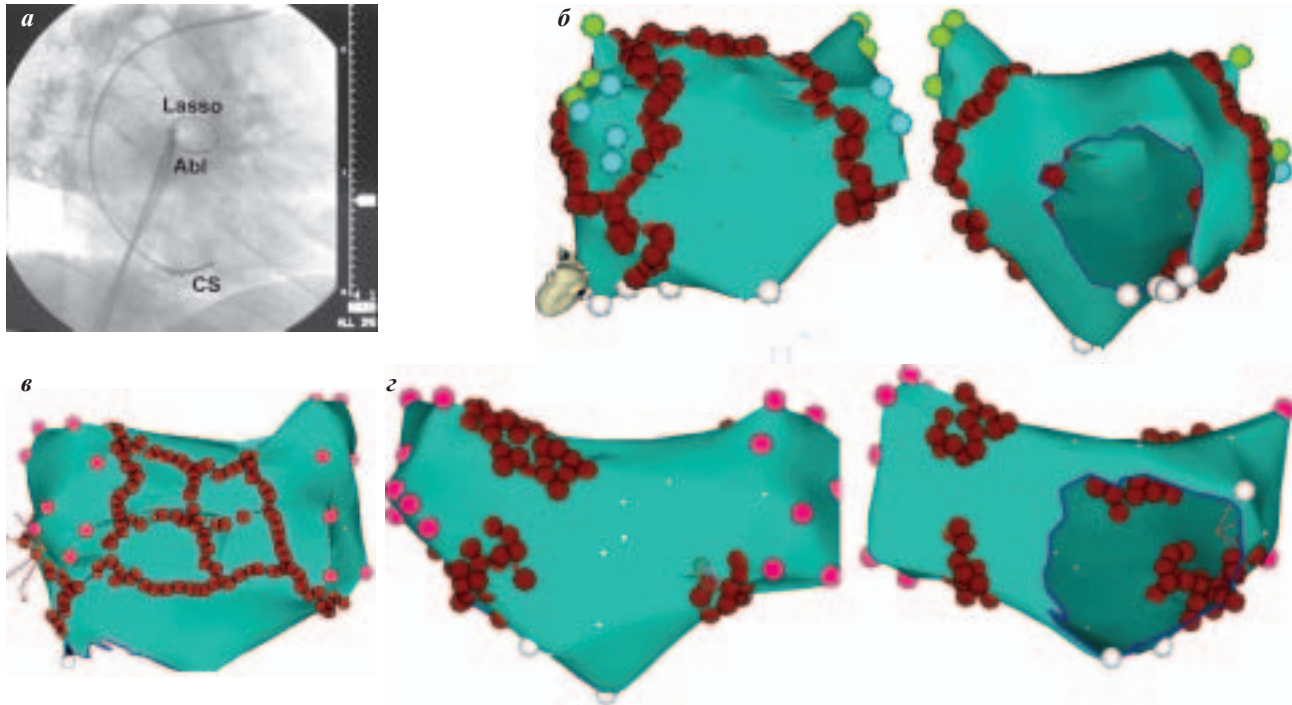


Рис. 1. Виды катетерных вмешательств у пациентов с ФП: а - изоляция УЛВ (технология Lasso), рентгенограмма, проекция RAO-45° (Lasso - 20-полюсный электрод в устье левой верхней ЛВ, CS - 10-полюсный электрод в коронарном синусе, Abl - абляционный электрод); б - процедура Pappone, 3D-изображение левого предсердия, задняя и передняя проекции; в - изоляция УЛВ и задней стенки левого предсердия, 3D-изображение, задняя проекция; г - GP-абляция, 3D-изображение левого предсердия, задняя и передняя проекции.

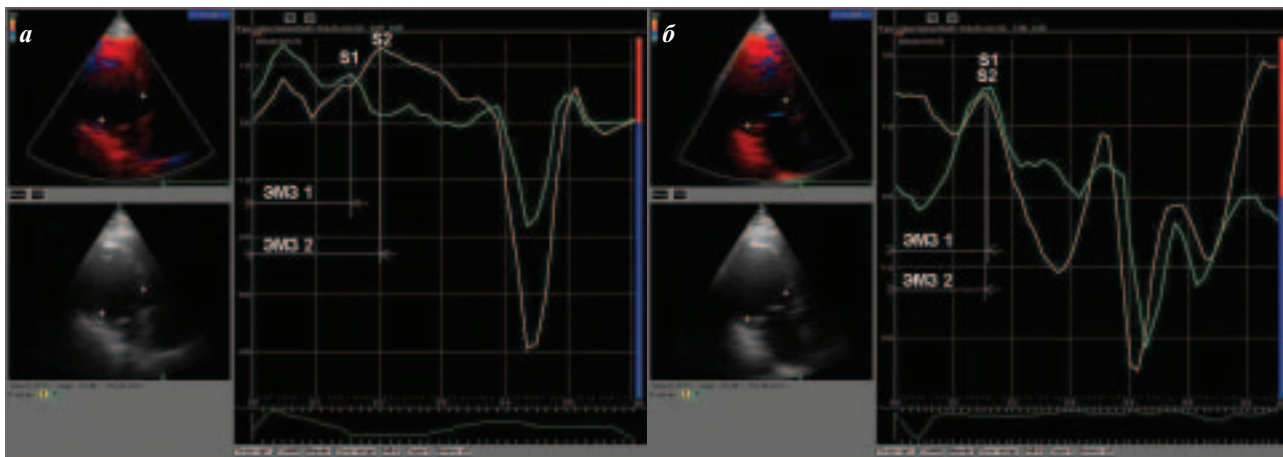


Рис. 1. Импульсно-волновая тканевая доплерограмма скорости движения миокарда на уровне базальных сегментов межжелудочковой перегородки (МЖП) и задне-боковой стенки (ЗБС) левого желудочка (ЛЖ): а) у пациента с полной блокадой ЛНПГ пиковая систолическая скорость движения ЗБС ЛЖ (S2) отстает по времени от пиковой скорости движения МЖП (S1), что проявляется выраженной разницей электро-механических задержек (ЭМЗ1 и ЭМЗ2); б) у пациента на фоне РРС устранение асинхронного сокращения базальных сегментов ЗБС ЛЖ (S2) и МЖП (S1) проявляется уменьшением разницы ЭМЗ1 и ЭМЗ2).

Рисунки к статье А.В.Евтушенко, В.В.Евтушенко, К.А.Петлина и др.

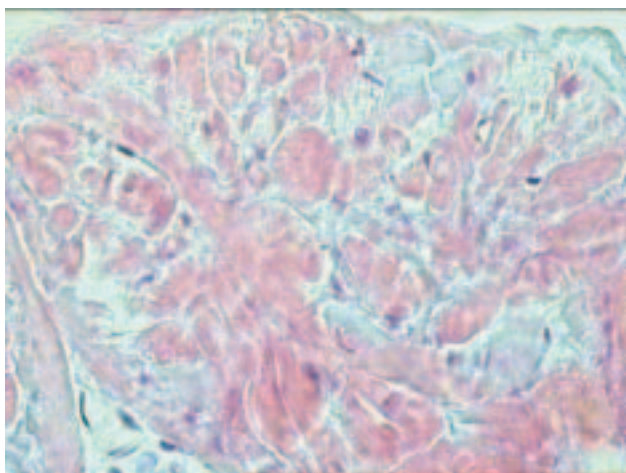


Рис. 3. Субэндокардиальный слой левого предсердия. Объяснения в тексте.

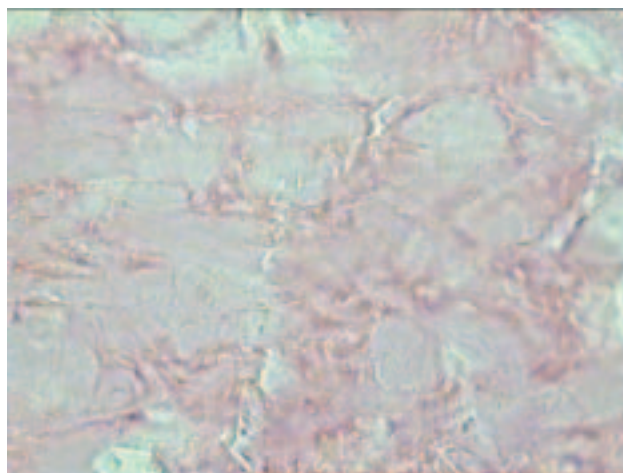


Рис. 5. Субэпикардиальный слой левого предсердия. Объяснения в тексте.

Рисунки к статье А.Ш.Ревизивили, Н.М.Неминуцего



Рис. 2. Схема расположения электродов в сердце и их соединение с ЭКС, для осуществления ресинхронизации сердца.



Рис. 4. Механизм изменения показателей внутрисердечной гемодинамики, под влиянием ресинхронизирующей терапии [39].